# Méthode des éléments finis Formulation intégrale des problèmes aux limites bidimensionnels

Prof. F. Gallaire

#### Formulation faible approchée

Approximation des températures réelle et virtuelle

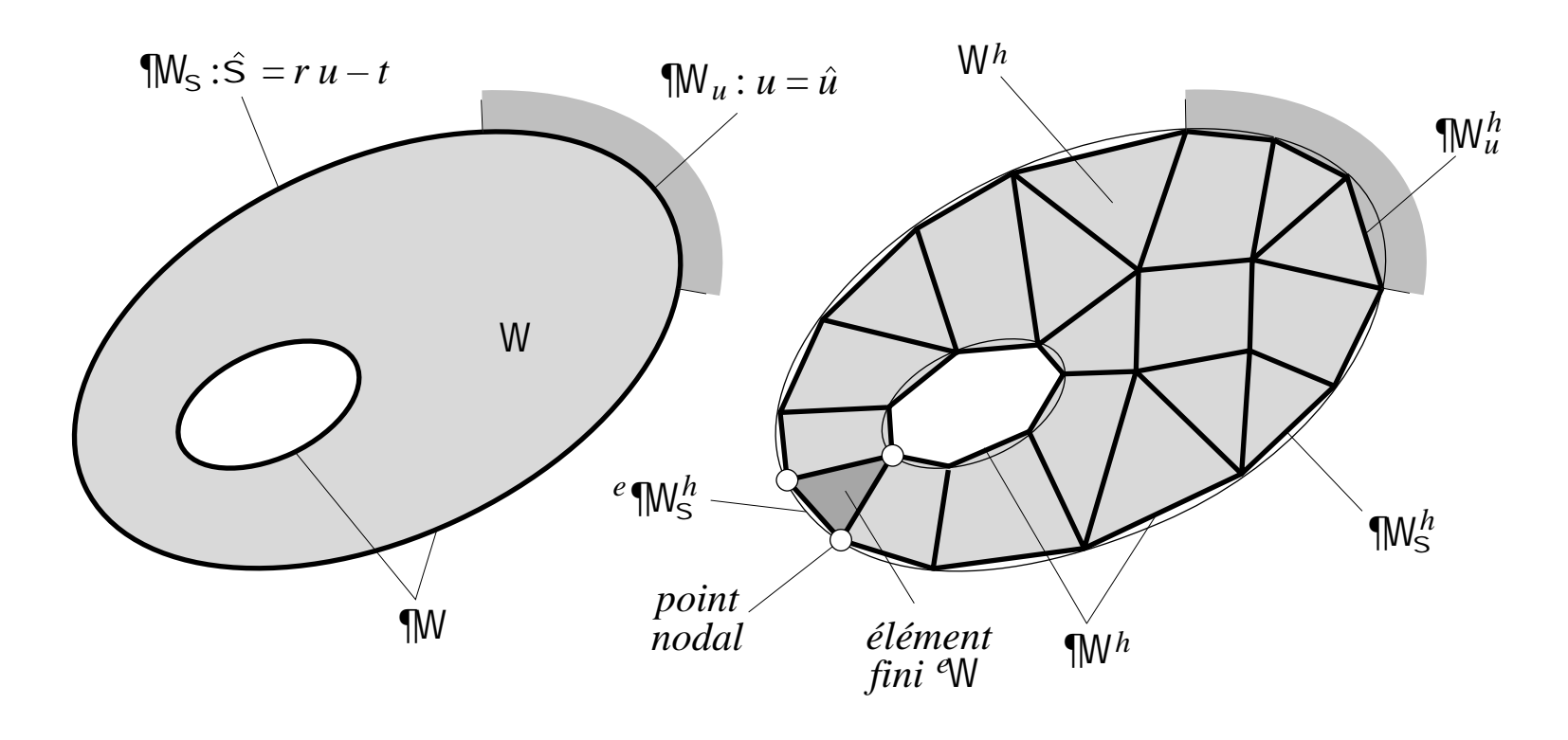
$$u \approx u^h \in U^h \subset U$$
$$\delta u \approx \delta u^h \in V^h \subset V$$

Forme faible approchée

$$u^{h} \in U^{h} : \int_{\Omega^{h}} [\kappa (\nabla u^{h})^{T} \nabla \delta u^{h} + \rho u^{h} \delta u^{h}] dx dy + \int_{\partial \Omega^{h}_{\sigma}} r u^{h} \delta u^{h} ds$$

$$= \int_{\Omega^{h}} q \delta u^{h} dx dy + \int_{\partial \Omega^{h}_{\sigma}} t \delta u^{h} ds \quad \forall \delta u^{h} \in V^{h}$$
Domaine et frontière naturelle approchés

#### Méthode des éléments finis



Discrétisation en éléments finis triangulaires et quadrangulaires

 Approximation des températures par la méthode des éléments finis : association d'une fonction de forme à chacun des p nœuds

$$u^h(x, y) = \mathbf{H}(x, y) \mathbf{q}$$
  
 $\delta u^h(x, y) = \mathbf{H}(x, y) \delta \mathbf{q}$ 

$$\mathbf{H} = [h_1, h_2, ..., h_p]$$



Méthode dérivée de la technique de Galerkin

matrice  $(1 \times p)$  des fonctions de forme nodales  $h_i(x, y)$ 

 Approximation des températures par la méthode des éléments finis : association d'une fonction de forme à chacun des p nœuds

$$u^h(x, y) = \mathbf{H}(x, y) \mathbf{q}$$
  
 $\delta u^h(x, y) = \mathbf{H}(x, y) \delta \mathbf{q}$ 



Fonctions à support compact

$$\mathbf{H} = [h_1 \\ h_2, \dots, h_p]$$

matrice 
$$(1 \times p)$$
 des fonctions de forme nodales  $h_i(x, y)$ 

$$\mathbf{q} = \{q_1, q_2, ..., q_p\}^{\mathrm{T}}$$

$$\delta \mathbf{q} = \{\delta q_1, \delta q_2, ..., \delta q_p\}^{\mathrm{T}}$$

vecteurs (1×p) des températures <u>nodales</u> réelles et virtuelles

- Critères classiques de convergence (fonctions globales  $h_i$ )
  - Critère de complétude ou de complétion

$$h_i(x, y) = \alpha + \beta x + \gamma y + \dots$$

Critère de différentiabilité

$$h_i(x, y) \in H^1(\Omega)$$



Régularité des données

Critère de continuité aux nœuds

$$h_i(x_j, y_j) = \delta_{ij}$$
  $(i, j = 1, 2, ..., p)$   $(x_j, y_j)$  position du nœud  $j$ 

Critère de continuité aux interfaces élémentaires

22/11/2018 -20-

Forme faible discrète

$$\mathbf{K}_{\mathbf{q}} = \mathbf{r} \qquad (q_{k} = \hat{q}_{k}, \forall k \mid (x_{k}, y_{k}) \in \partial \Omega_{u}^{h})$$

$$\mathbf{K} = \int_{\Omega^{h}} [\kappa (\nabla \mathbf{H})^{T} \nabla \mathbf{H} + \rho \mathbf{H}^{T} \mathbf{H}] dx dy$$

$$+ \int_{\partial \Omega_{\sigma}^{h}} r \mathbf{H}^{T} \mathbf{H} ds$$

$$\text{matrice } (p \times p)$$

$$\text{de conductivit\'e}$$

$$\nabla \mathbf{H} = \begin{bmatrix} \partial \mathbf{H} / \partial x \\ \partial \mathbf{H} / \partial y \end{bmatrix}^{T} \begin{bmatrix} \partial \mathbf{H} / \partial x \\ \partial \mathbf{H} / \partial y \end{bmatrix} = \frac{\partial \mathbf{H}^{T}}{\partial x} \frac{\partial \mathbf{H}}{\partial x} + \frac{\partial \mathbf{H}^{T}}{\partial y} \frac{\partial \mathbf{H}}{\partial y}$$

$$(\nabla \mathbf{H})^{T} \nabla \mathbf{H} = \begin{bmatrix} \partial \mathbf{H} / \partial x \\ \partial \mathbf{H} / \partial y \end{bmatrix}^{T} \begin{bmatrix} \partial \mathbf{H} / \partial x \\ \partial \mathbf{H} / \partial y \end{bmatrix} = \frac{\partial \mathbf{H}^{T}}{\partial x} \frac{\partial \mathbf{H}}{\partial x} + \frac{\partial \mathbf{H}^{T}}{\partial y} \frac{\partial \mathbf{H}}{\partial y}$$

-21-

• Forme faible discrète (*suite*)

$$\mathbf{K} \mathbf{q} = \mathbf{r} \qquad (q_k = \hat{q}_k, \forall k \mid (x_k, y_k) \in \partial \Omega_u^h)$$

$$\mathbf{K} = \int_{\Omega^h} \left\{ \kappa \left[ (\partial \mathbf{H}^T / \partial x) (\partial \mathbf{H} / \partial x) + \rho \mathbf{H}^T \mathbf{H} \right] \right\} dx dy$$

$$+ (\partial \mathbf{H}^T / \partial y) (\partial \mathbf{H} / \partial y) + \rho \mathbf{H}^T \mathbf{H} ds$$

$$= \int_{\Omega^h} (\kappa \mathbf{B} \mathbf{B} + \rho \mathbf{H}^T \mathbf{H}) dx dy$$

$$+ \int_{\partial \Omega_\sigma^h} r \mathbf{H}^T \mathbf{H} ds$$

$$\mathbf{B} = \nabla \mathbf{H} \quad \text{matrice-gradient } (2 \times p)$$

-22-11/2018

• Forme faible discrète (*suite*)

$$\mathbf{K} \mathbf{q} = \mathbf{r} \quad (q_k = \hat{q}_k, \forall k \mid (x_k, y_k) \in \partial \Omega_u^h)$$

$$\mathbf{r} = \int_{\Omega^h} \mathbf{H}^{\mathrm{T}} q \, \mathrm{d}x \, \mathrm{d}y + \int_{\partial \Omega_{\sigma}^h} \mathbf{H}^{\mathrm{T}} t \, \mathrm{d}s$$

vecteur ( $p \times 1$ ) des sources d'énergie-chaleur

$$\hat{q}_k \equiv q_k = \mathbf{H}(x_k, y_k) \mathbf{q} = u^h(x_k, y_k)$$



Interpolation nodale du champ de température imposé

$$\approx u(x_k, y_k) = \hat{u}(x_k, y_k) \quad (\hat{u}(s_k))$$
température
imposée au nœud  $k$ 

Forme indicielle de la formulation faible discrète

$$\sum_{j=1}^{p} k_{ij} q_{j} = r_{i} \quad (i = 1, 2, ..., p) \quad (q_{k} = \hat{q}_{k}, \forall k \mid (x_{k}, y_{k}) \in \partial \Omega_{u}^{h})$$

$$k_{ij} = \int_{\Omega^{h}} \{ \kappa \left[ (\partial h_{i} / \partial x) (\partial h_{j} / \partial x) + (\partial h_{i} / \partial y) (\partial h_{j} / \partial y) \right] + \rho h_{i} h_{j} \} dx dy$$

$$+ \int_{\partial \Omega_{\sigma}^{h}} r h_{i} h_{j} ds$$

$$r_{i} = \int_{\Omega^{h}} h_{i} q dx dy + \int_{\partial \Omega_{\sigma}^{h}} h_{i} t ds$$

Assemblage des contributions élémentaires (m éléments finis)

$$\mathbf{K} = \mathbf{A}^{e} \mathbf{K} \qquad \mathbf{r} = \mathbf{A}^{e} \mathbf{r} \qquad (\Omega^{h} = \bigcup_{e=1}^{m} {}^{e} \Omega)$$

• Matrice élémentaire  $(^ep\times^ep)$  de conductivité  $(^ep$  points nodaux)

$${}^{e}\mathbf{K} = \int_{\mathbf{Q}_{2}} \{ \mathbf{e} \mathbf{k} \left[ (\partial^{2}\mathbf{H}^{T}/\partial x) (\partial^{2}\mathbf{H}/\partial x) + (\partial^{2}\mathbf{H}^{T}/\partial y) (\partial^{2}\mathbf{H}/\partial y) \right] + \mathbf{e} \mathbf{p}^{2}\mathbf{H}^{T}\mathbf{e}\mathbf{H} \right] dx dy + \int_{\mathbf{Q}_{2}} \mathbf{e}^{2}\mathbf{H}^{T}\mathbf{e}\mathbf{H} ds$$

Assemblage des contributions élémentaires (m éléments finis)

$$\mathbf{K} = \mathbf{A} \underbrace{e}^{\mathbf{k}} \mathbf{K} \qquad \mathbf{r} = \mathbf{A} \underbrace{e}^{\mathbf{k}} \mathbf{r} \qquad (\Omega^{h} = \bigcup_{e=1}^{m} e \Omega)$$

• Matrice élémentaire  $(^ep\times^ep)$  de conductivité  $(^ep$  points nodaux)

$${}^{e}\mathbf{K} = \int_{e_{\Omega}} \{{}^{e}\kappa \left[ (\partial^{e}\mathbf{H}^{T}/\partial x) \left( \partial^{e}\mathbf{H}/\partial x \right) + (\partial^{e}\mathbf{H}^{T}/\partial y) \left( \partial^{e}\mathbf{H}/\partial y \right) \right] + {}^{e}\rho {}^{e}\mathbf{H}^{T} {}^{e}\mathbf{H} \right] dx dy + \int_{e_{\partial\Omega} {}^{h}} {}^{e}r^{e}\mathbf{H}^{T} {}^{e}\mathbf{H} ds$$

$${}^{e}\mathbf{H} = [{}^{e}h_{1}, {}^{e}h_{2}, ..., {}^{e}h_{e_{p}}] \quad \text{matrice } (1 \times {}^{e}p) \text{ des fonctions de base}$$

22/11/2018 -26-

Assemblage des contributions élémentaires (m éléments finis)

$$\mathbf{K} = \mathbf{A}^{e} \mathbf{K} \qquad \mathbf{r} = \mathbf{A}^{e} \mathbf{r} \qquad (\Omega^{h} = \bigcup_{e=1}^{m} {}^{e} \Omega)$$

• Matrice élémentaire ( $^ep\times^ep$ ) de conductivité ( $^ep$  points nodaux)

$${}^{e}\mathbf{K} = \int_{e_{\Omega}} \{{}^{e}\kappa \left[ (\partial^{e}\mathbf{H}^{T}/\partial x) (\partial^{e}\mathbf{H}/\partial x) + (\partial^{e}\mathbf{H}^{T}/\partial y) (\partial^{e}\mathbf{H}/\partial y) \right] + {}^{e}\rho {}^{e}\mathbf{H}^{T} {}^{e}\mathbf{H} \right] dx dy$$

$$+ \int_{e_{\partial\Omega}h} {}^{e}r^{e}\mathbf{H}^{T} {}^{e}\mathbf{H} ds$$

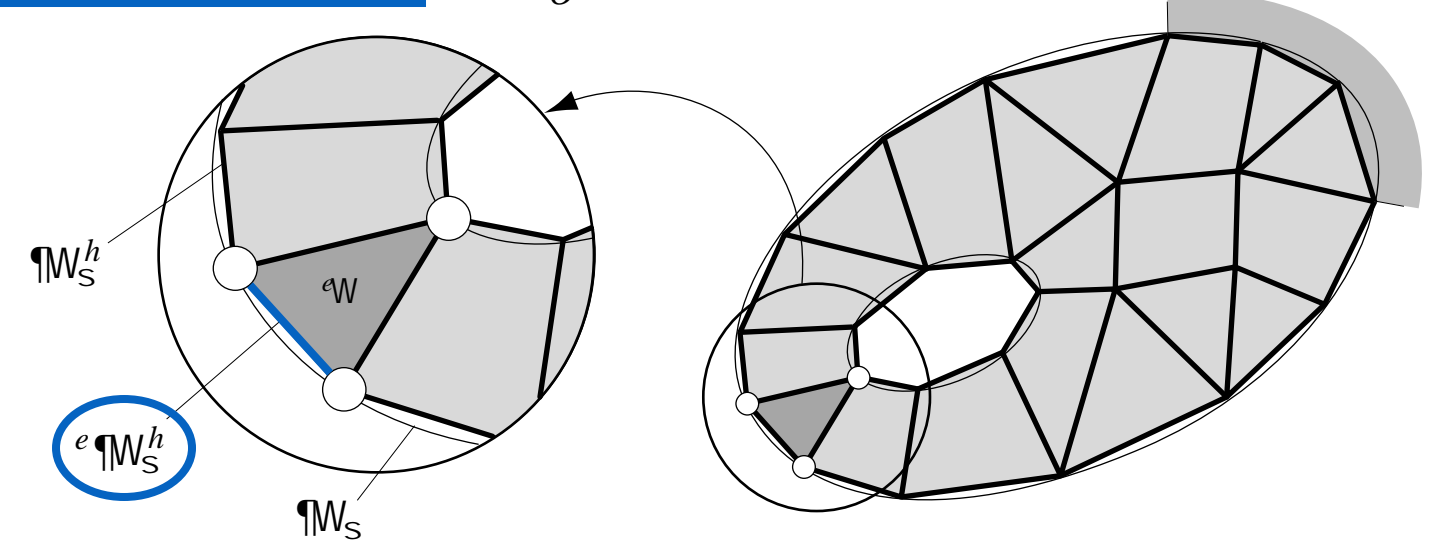
-27-

• Vecteur élémentaire ( $^ep \times 1$ ) des sources d'énergie-chaleur

$$e$$
**r** =  $\int_{\Omega} \mathbf{H}^{T} \mathbf{e} dx dy + \int_{\Omega} \mathbf{e} \mathbf{H}^{T} \mathbf{e} ds$ 



• Frontière naturelle  ${}^e\partial\Omega^h_\sigma$  de l'élément fini  ${}^e\Omega$ 



-28-

Forme indicielle des grandeurs élémentaires

$${}^{e}k_{ij} = \int_{e_{\Omega}} \{{}^{e}\kappa \left[ (\partial^{e}h_{i}/\partial x) (\partial^{e}h_{j}/\partial x) + (\partial^{e}h_{i}/\partial y) (\partial^{e}h_{j}/\partial y) \right] + {}^{e}\rho {}^{e}h_{i} {}^{e}h_{j} \} dx dy + \int_{e_{\partial\Omega} \partial_{\sigma}} {}^{e}r^{e}h_{i} {}^{e}h_{j} ds$$

$$er_i = \int_{e_{\Omega}}^{e} h_i^{e} q \, dx \, dy + \int_{e_{\partial \Omega_{\sigma}}^{h}}^{e} h_i^{e} t \, ds$$

- Critères classiques de convergence (fonctions locales  ${}^eh_i$ )
  - Critère de complétude
  - Critère de différentiabilité



Discontinuités des données

Critère de continuité aux nœuds

$${}^{e}h_{i}({}^{e}x_{i}, {}^{e}y_{i}) = \delta_{ii} \quad (i, j = 1, 2, ..., {}^{e}p)$$

Critère de continuité le long des interfaces élémentaires

22/11/2018 -30-

- Critères classiques de convergence (fonctions locales  ${}^eh_i$ )
  - Critère de complétude
  - Critère de différentiabilité



Discontinuités des données

Critère de continuité aux nœuds

$${}^{e}h_{i}({}^{e}x_{j}, {}^{e}y_{j}) = \delta_{ij} \quad (i, j = 1, 2, ..., {}^{e}p)$$

Critère de continuité le long des interfaces élémentaires



Éléments finis de classe ou compatibilité  $C^0$ 

- Critères complémentaires de continuité
  - Critère de déplacement rigide (température uniforme)

$$\sum_{i=1}^{e_p} {}^e k_i(x, y) = 1$$

Critère de déformation constante (gradient de température constant)

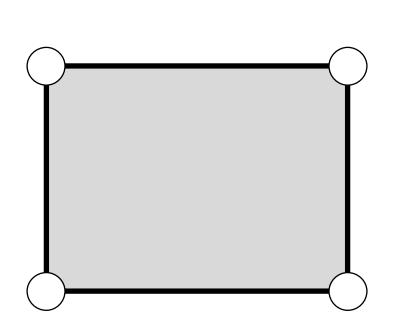
$$\sum_{i=1}^{e_p} \left[ \partial^e h_i(x, y) / \partial x \right] = \sum_{i=1}^{e_p} \left[ \partial^e h_i(x, y) / \partial y \right] = 0$$

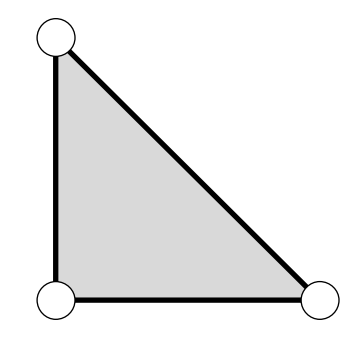


Critères valables sur l'ensemble du domaine de l'élément fini

#### Élaboration d'éléments finis 2D

• Discrétisation en éléments finis de forme régulière





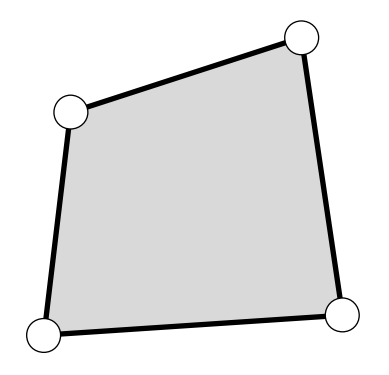


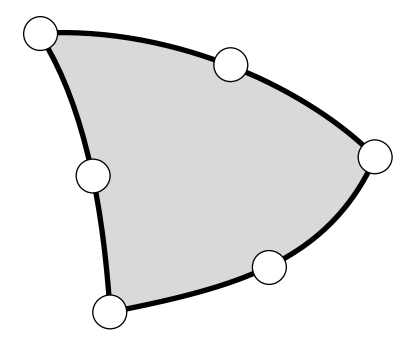
Erreurs de discrétisation



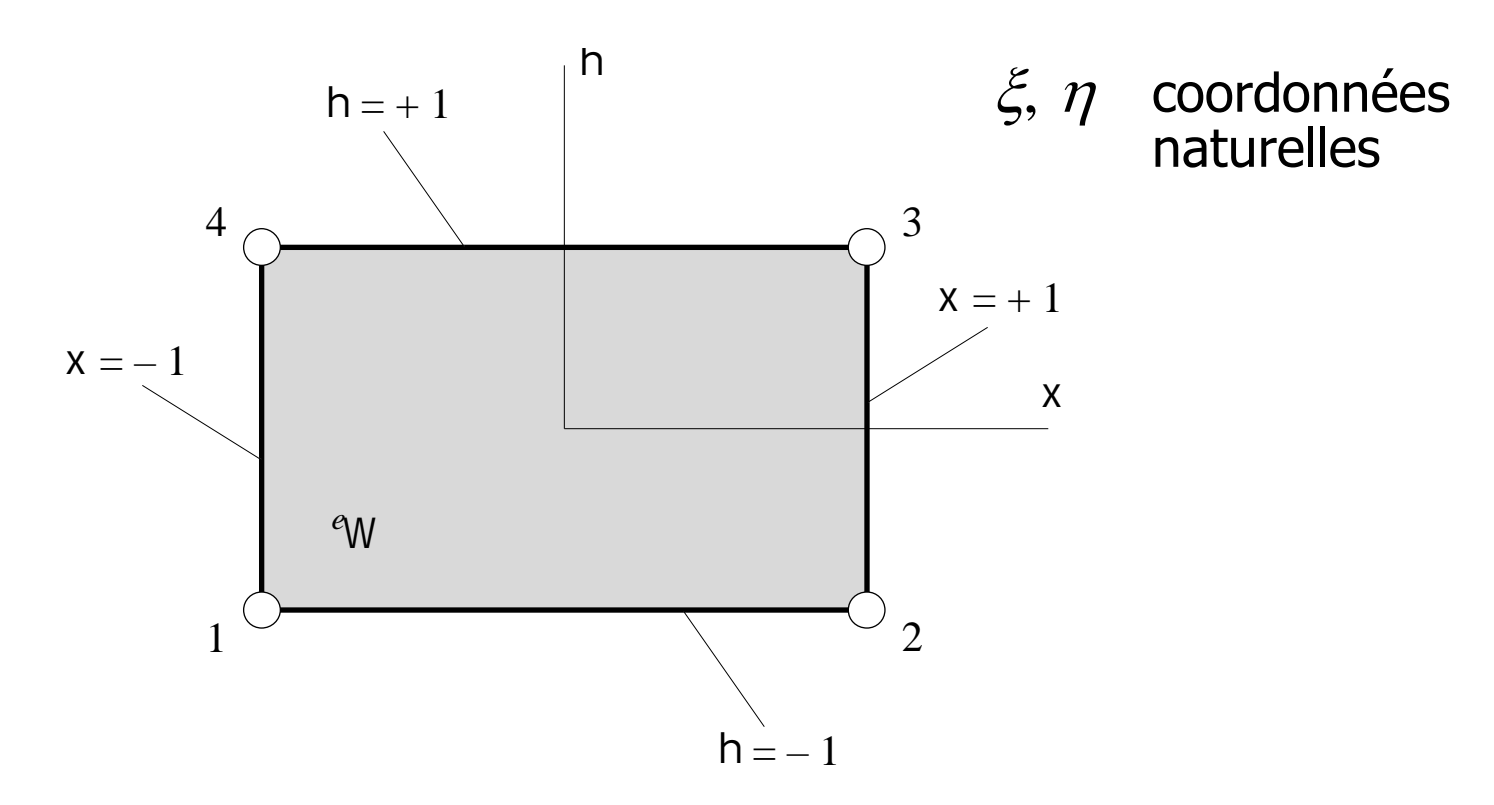
Éléments archétypes

• Discrétisation en éléments finis géométriquement déformés





• Élément fini rectangulaire (carré) linéaire à 4 points nodaux



Fonctions de base de l'élément rectangulaire linéaire

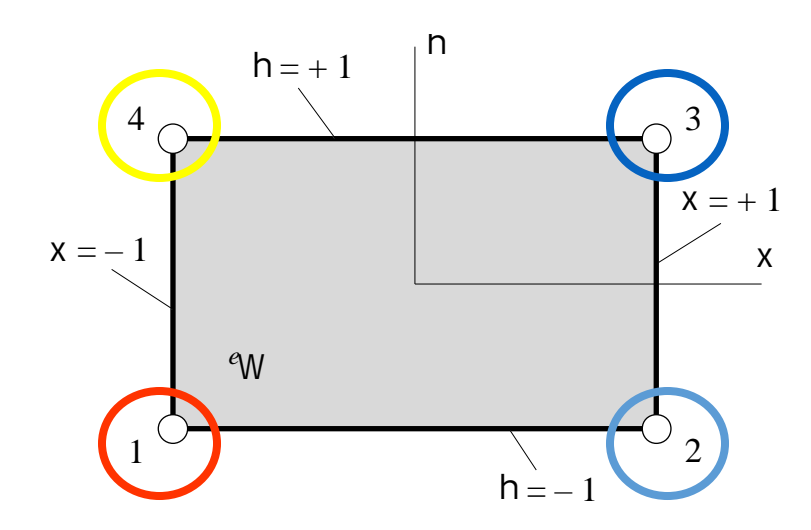
$$\stackrel{e}{h_1} = \frac{1}{2} (1 - \xi) \cdot \frac{1}{2} (1 - \eta)$$

$$= \frac{1}{4} (1 - \xi) (1 - \eta)$$

$$\stackrel{e}{h_2} = \frac{1}{4} (1 + \xi) (1 - \eta)$$

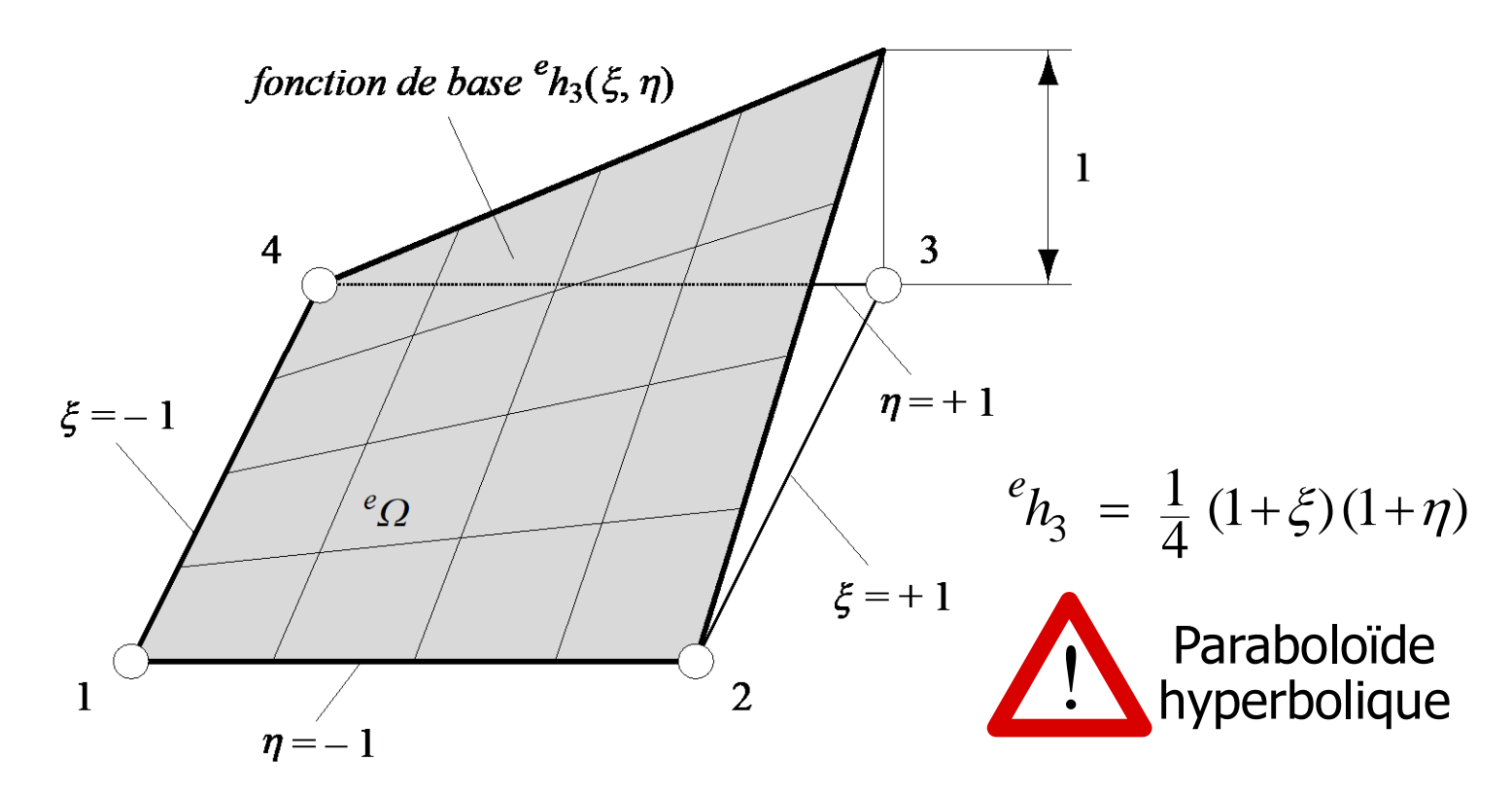
$$\stackrel{e}{h_3} = \frac{1}{4} (1 + \xi) (1 + \eta)$$

$$\stackrel{e}{h_4} = \frac{1}{4} (1 - \xi) (1 + \eta)$$



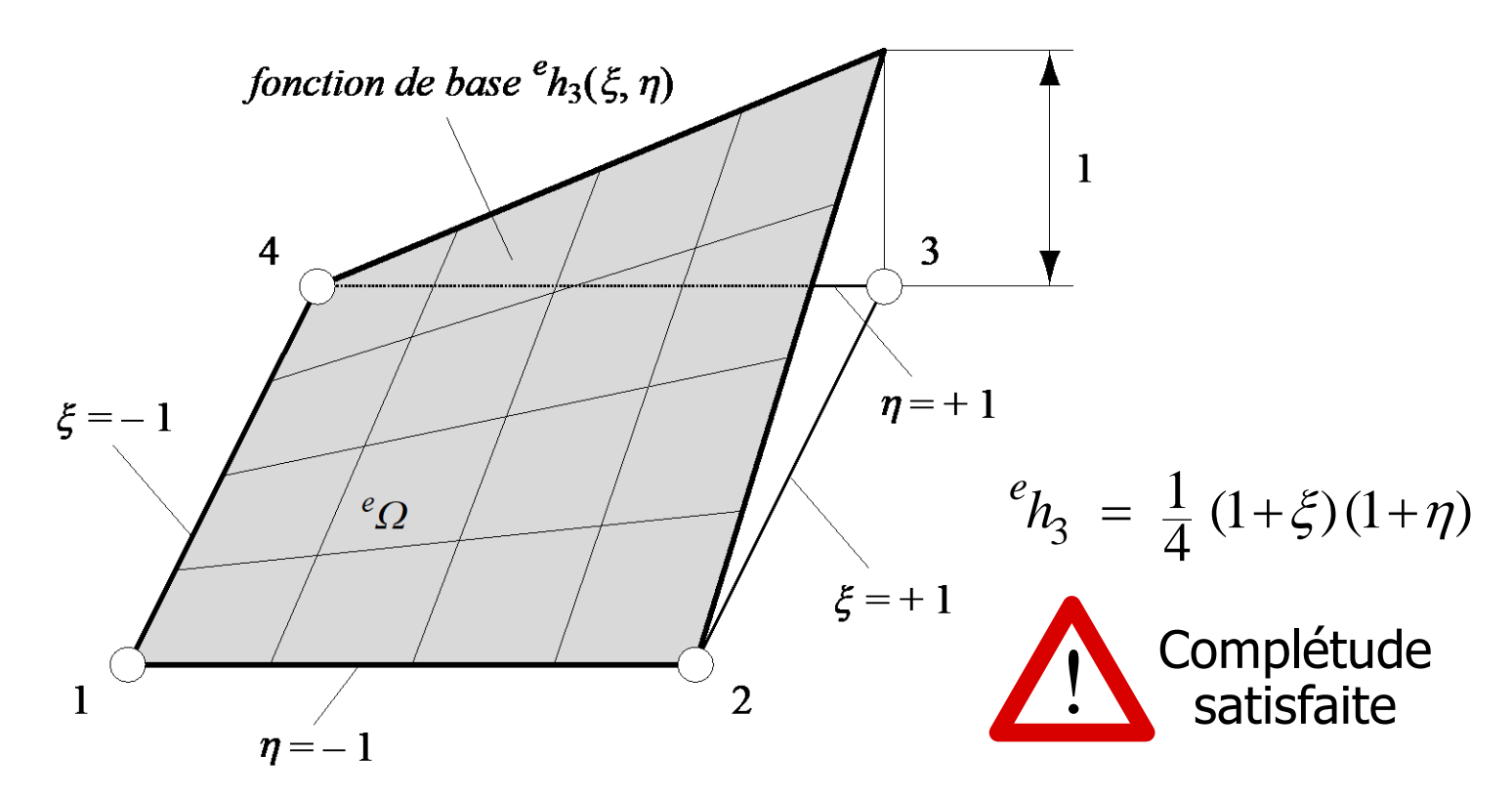
Produit de deux fonctions linéaires en  $\xi$  et  $\eta$ 

Allure des fonctions de base de l'élément rectangulaire bilinéaire

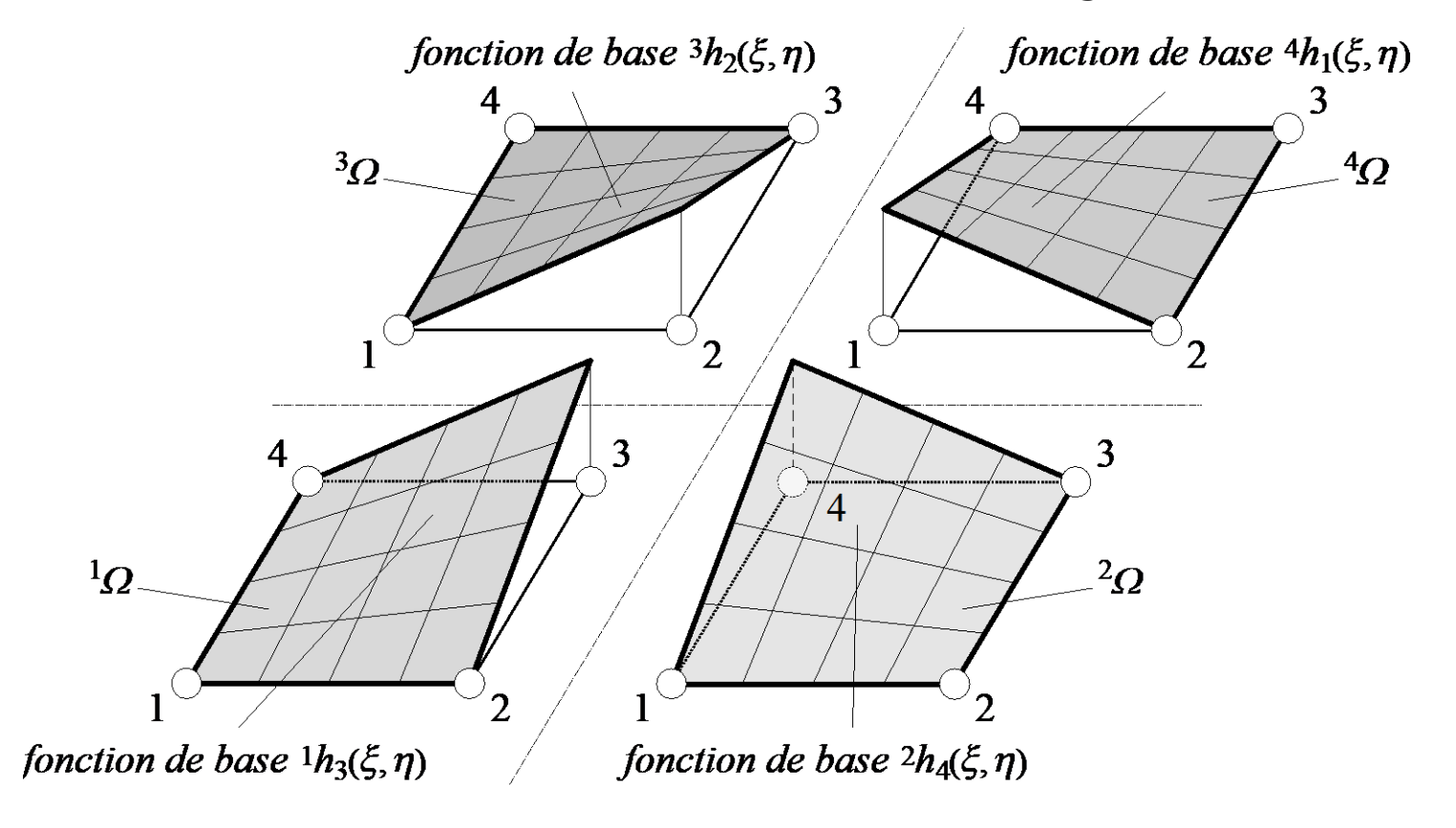


-36-

Allure des fonctions de base de l'élément rectangulaire bilinéaire

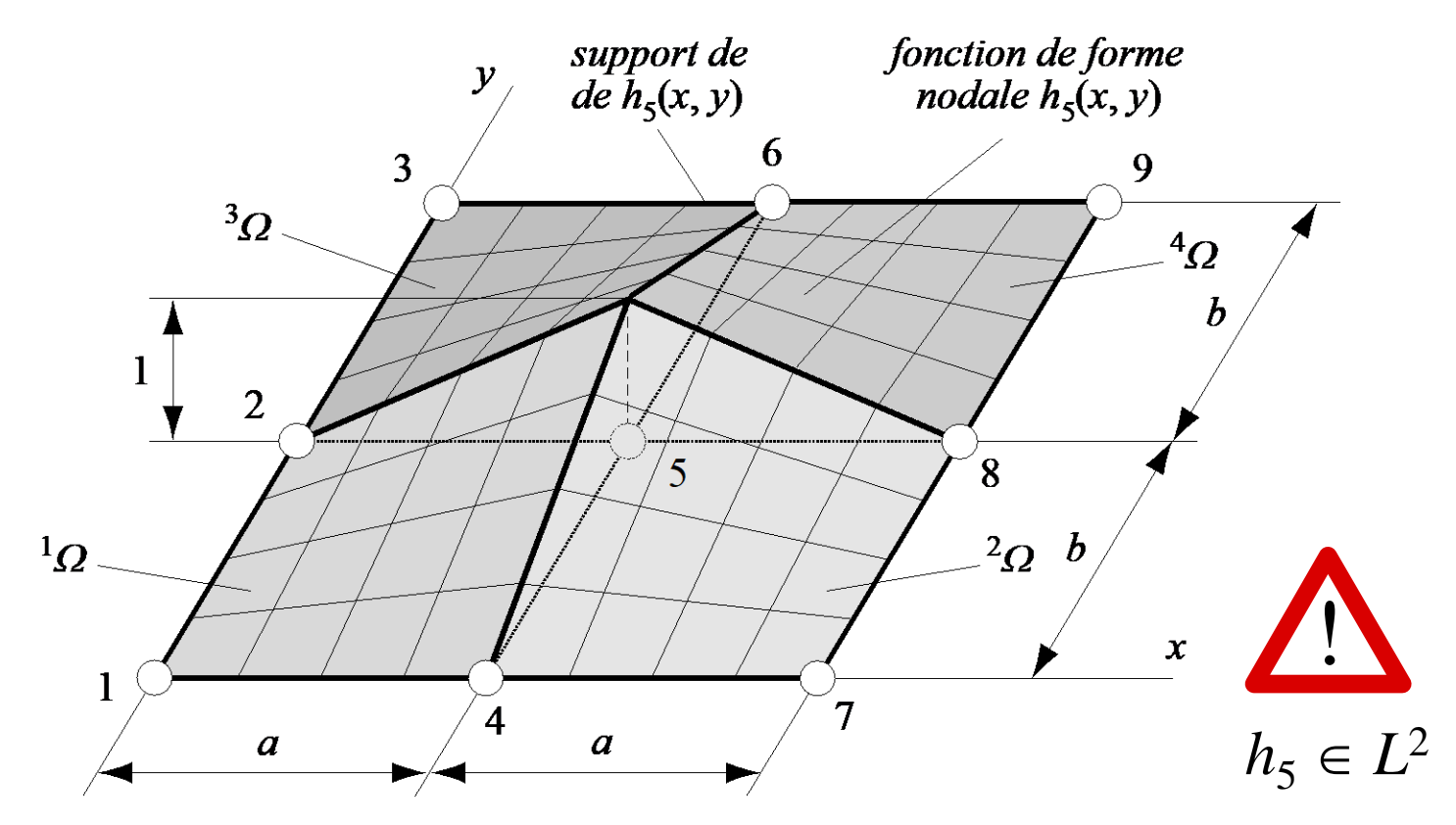


Critère de différentiabilité et élément fini rectangulaire bilinéaire



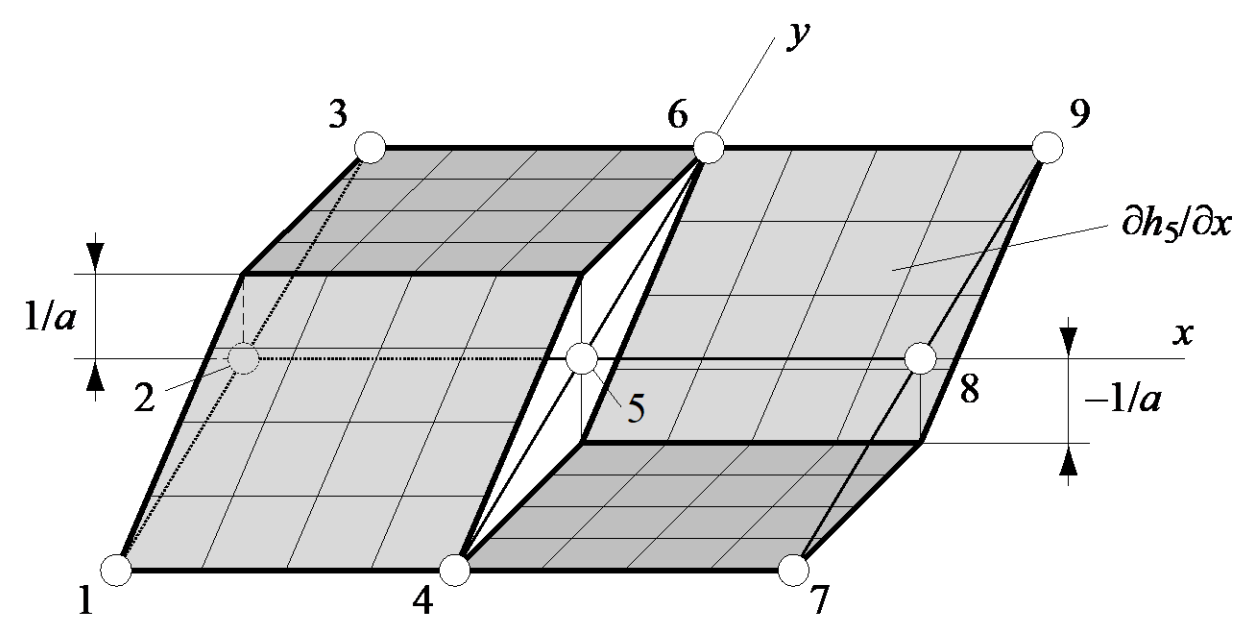
22/11/2018 -38-

Critère de différentiabilité et élément rectangulaire bilinéaire (suite)



-39-

Critère de différentiabilité et élément rectangulaire bilinéaire (suite)





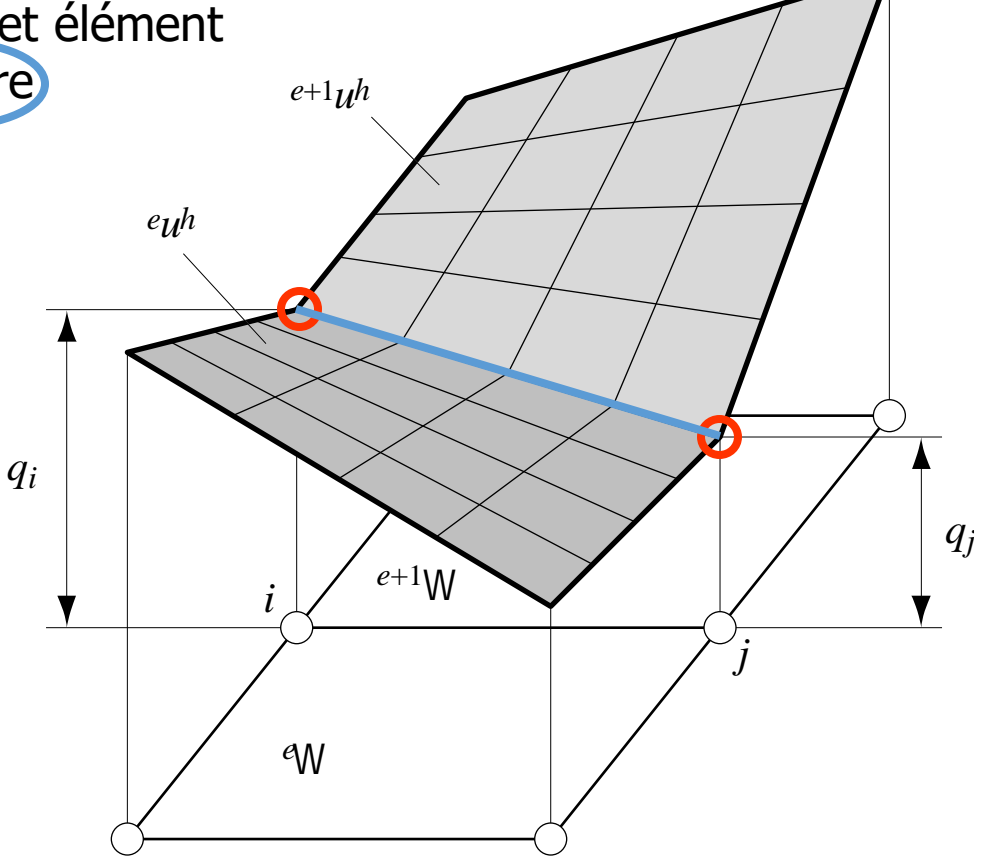
 $\partial h_5/\partial x \in L^2 (\partial h_5/\partial y \in L^2)$ 

Différentiabilité satisfaite  $h_5 \in H^1$ 

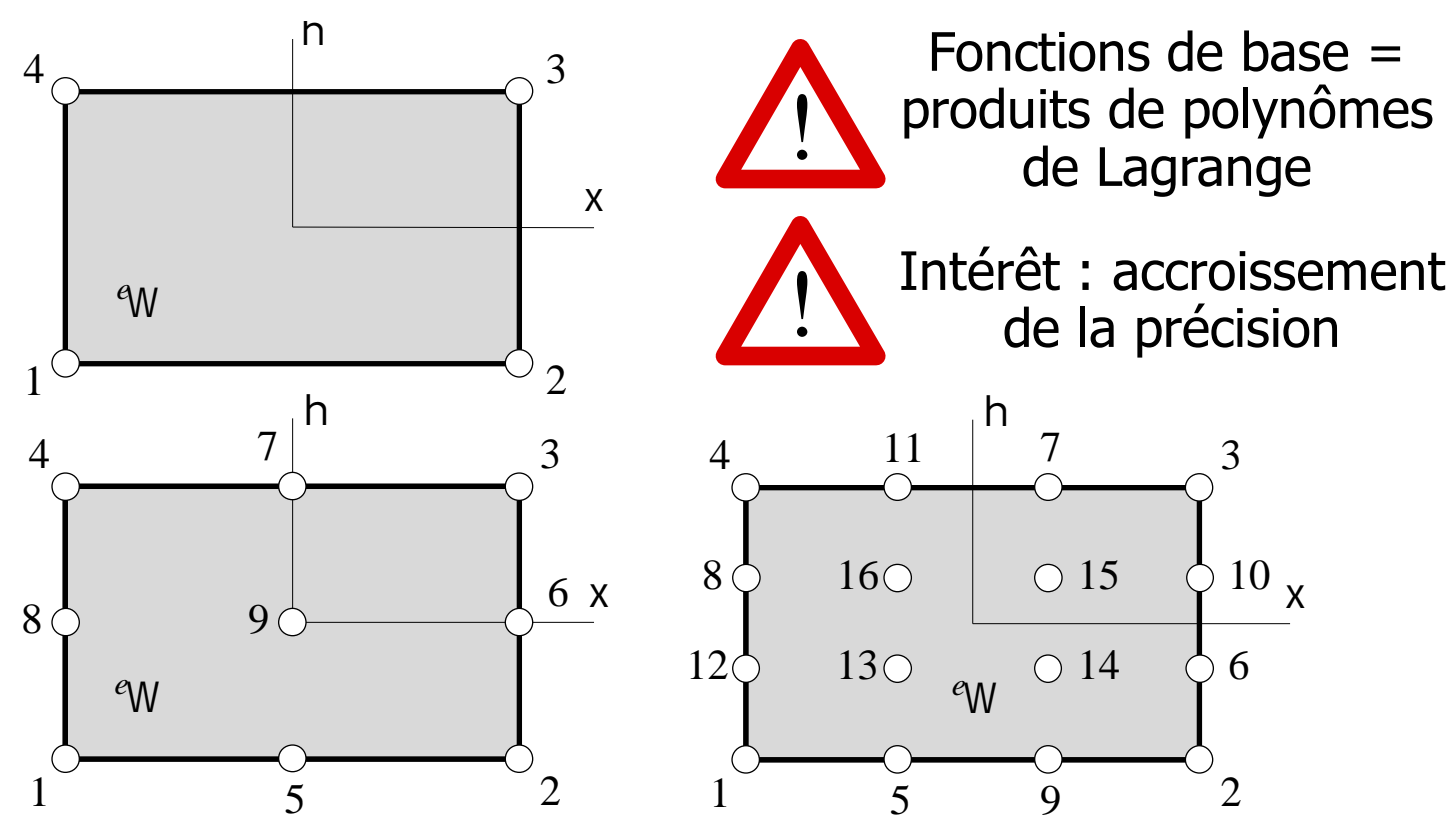
Critère de continuité et élément rectangulaire tilinéaire



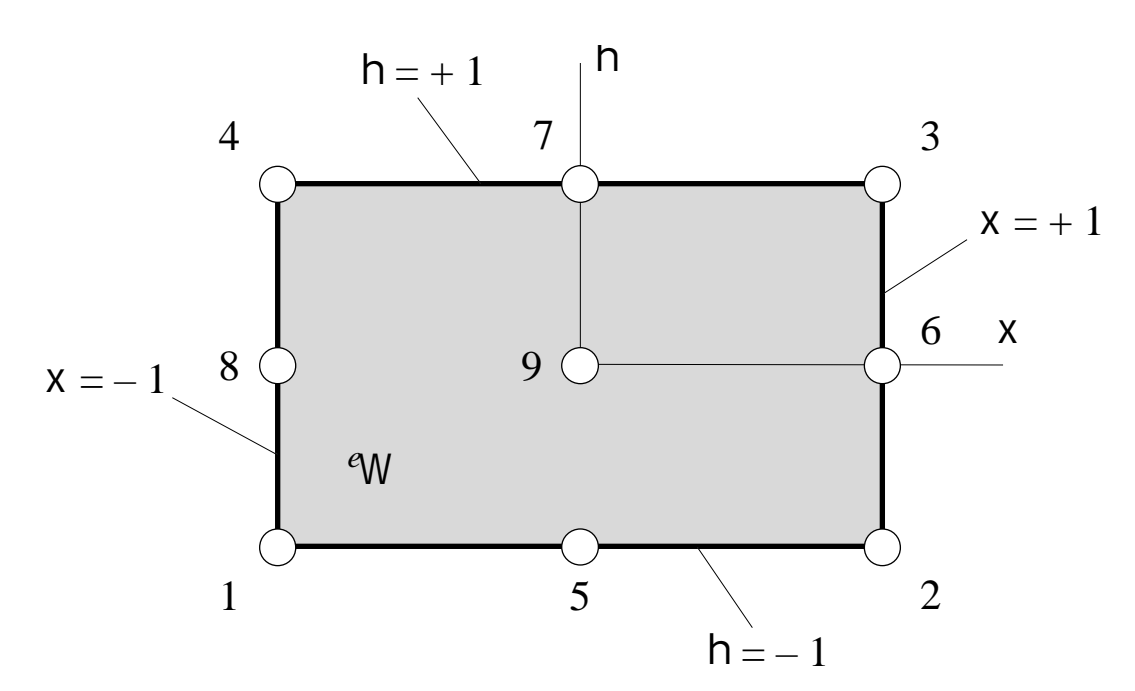
Continuité satisfaite aux nœuds et aux interfaces



• Famille lagrangienne d'éléments finis rectangulaires réguliers



• Élément fini rectangulaire quadratique à 9 points nodaux

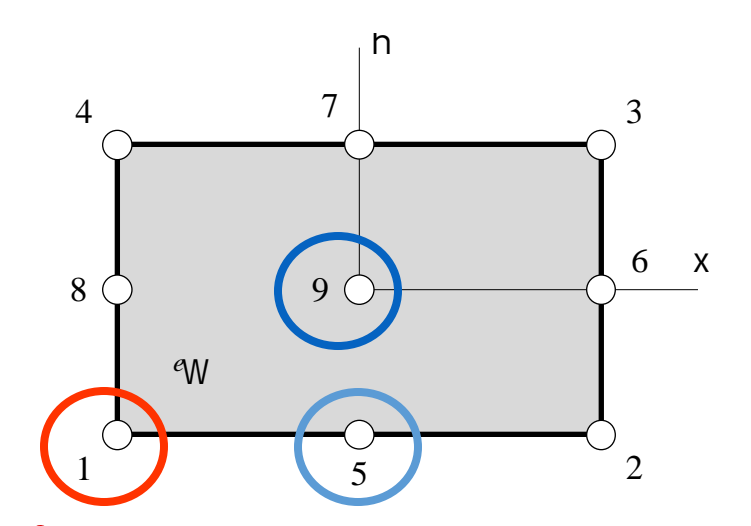




Numérotation des nœuds

-43-

Fonctions de base de l'élément rectangulaire quadratique



Produit de deux fonctions quadratiques en  $\xi$  et  $\eta$ 

22/11/2018 -44-

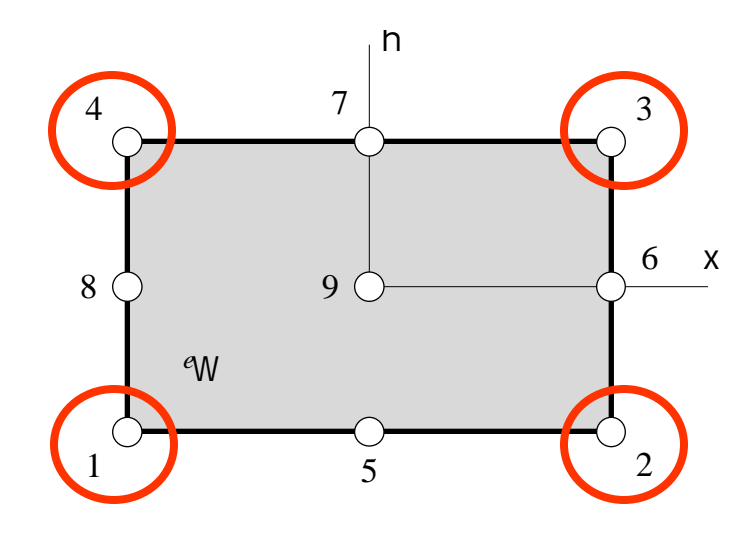
Fonctions de base de l'élément rectangulaire quadratique (suite)

$${}^{e}h_{1} = \frac{1}{4} \xi \eta (\xi - 1)(\eta - 1)$$

$${}^{e}h_{2} = \frac{1}{4} \xi \eta (\xi + 1)(\eta - 1)$$

$${}^{e}h_{3} = \frac{1}{4} \xi \eta (\xi + 1)(\eta + 1)$$

$${}^{e}h_{4} = \frac{1}{4} \xi \eta (\xi - 1)(\eta + 1)$$



22/11/2018 -45-

Fonctions de base de l'élément rectangulaire quadratique (suite)

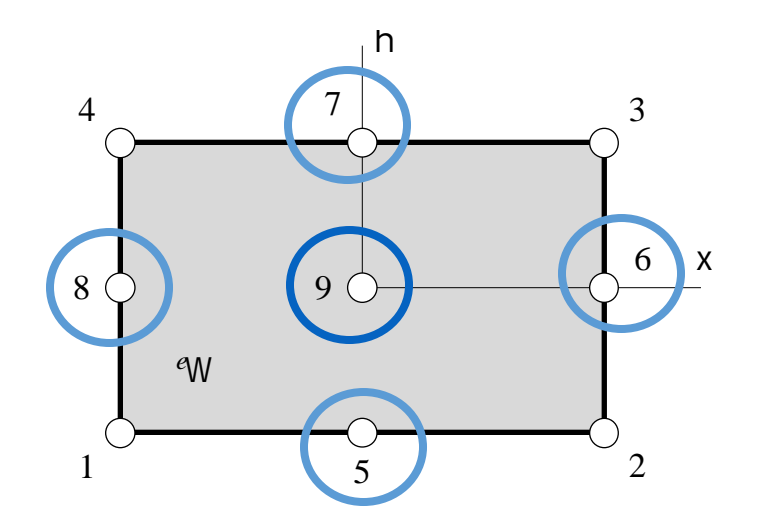
$${}^{e}h_{5} = \frac{1}{2} \eta (1 - \xi^{2}) (\eta - 1)$$

$${}^{e}h_{6} = \frac{1}{2} \xi (\xi + 1) (1 - \eta^{2})$$

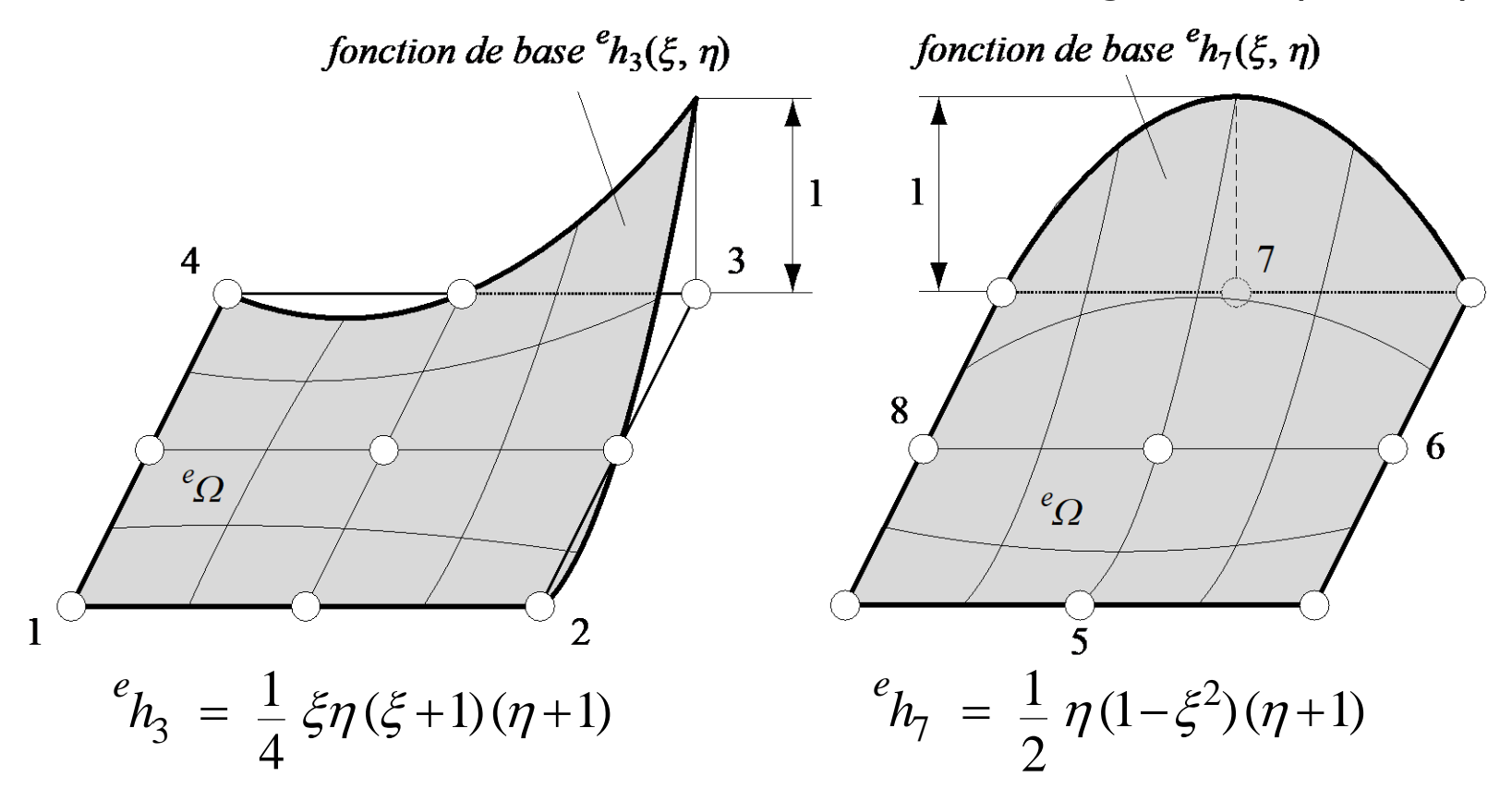
$${}^{e}h_{7} = \frac{1}{2} \eta (1 - \xi^{2}) (\eta + 1)$$

$${}^{e}h_{8} = \frac{1}{2} \xi (\xi - 1) (1 - \eta^{2})$$

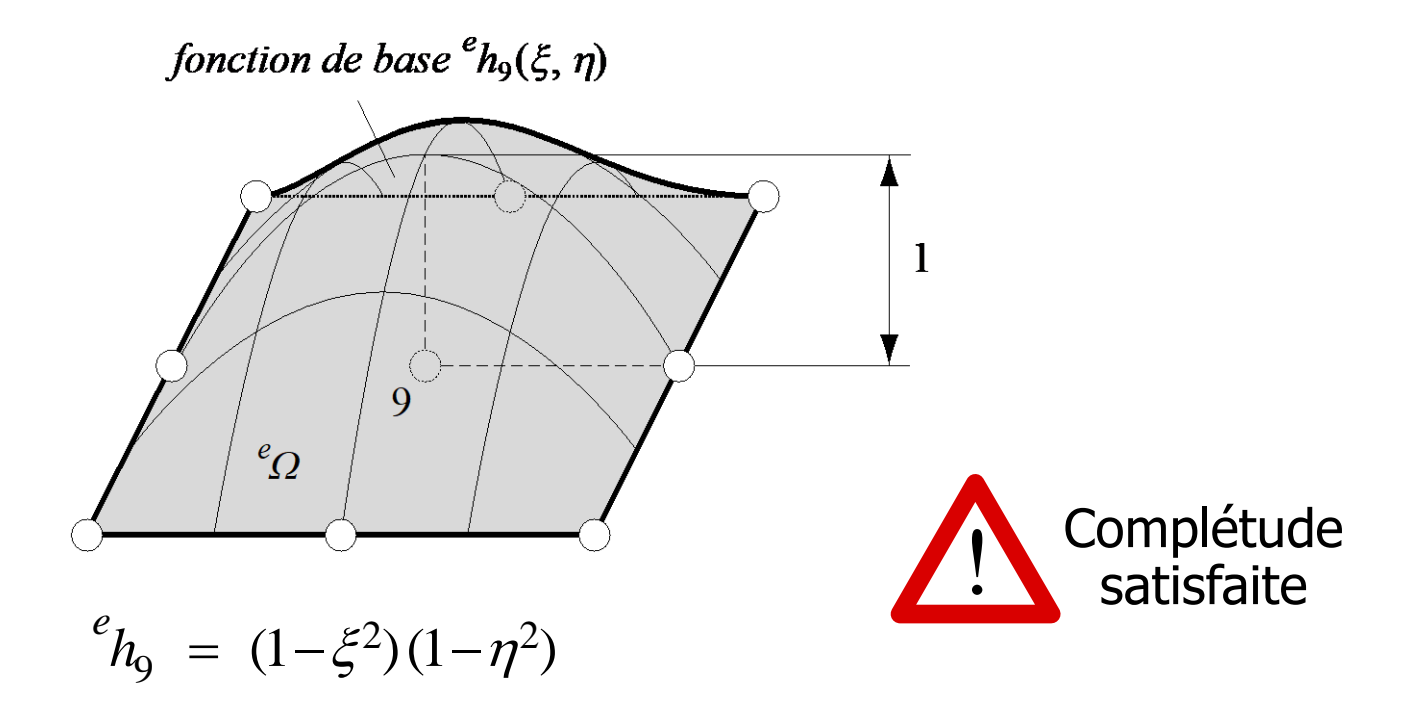
$${}^{e}h_{9} = (1 - \xi^{2}) (1 - \eta^{2})$$



Allure des fonctions de base de l'élément rectangulaire biquadratique



Allure des fonctions de base de l'élément biquadratique (suite)



22/11/2018 -48-

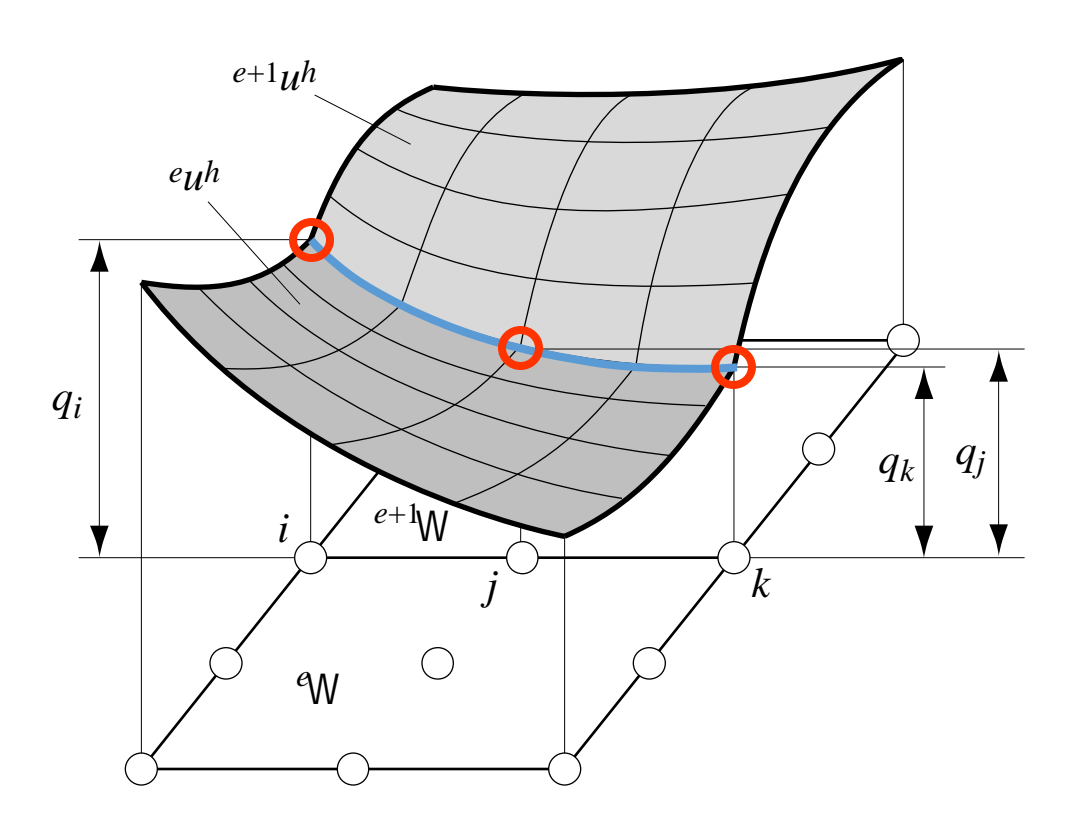
Critères de différentiabilité et de continuité et élément biquadratique



Différentiabilité satisfaite

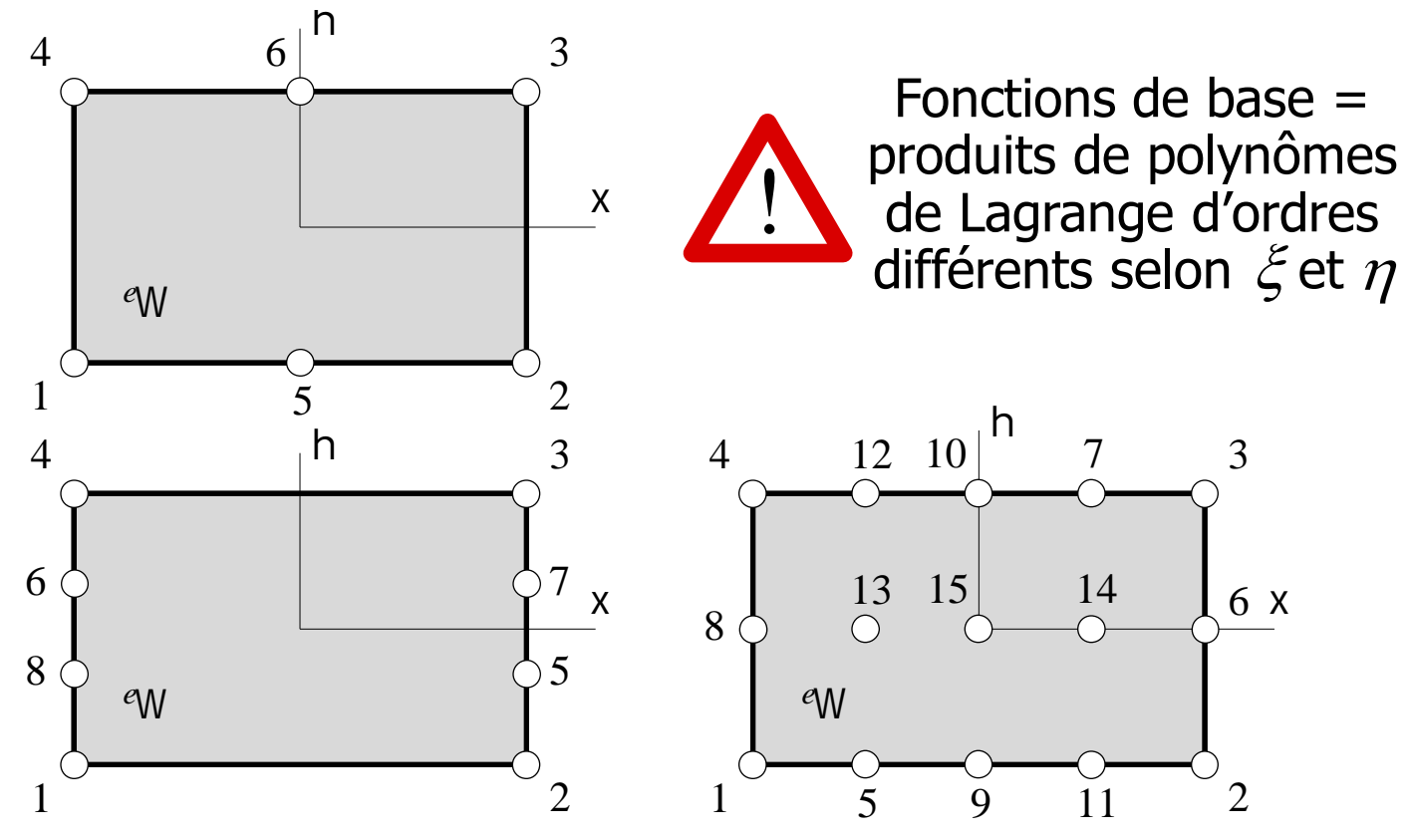


Continuité satisfaite aux nœuds et aux interfaces



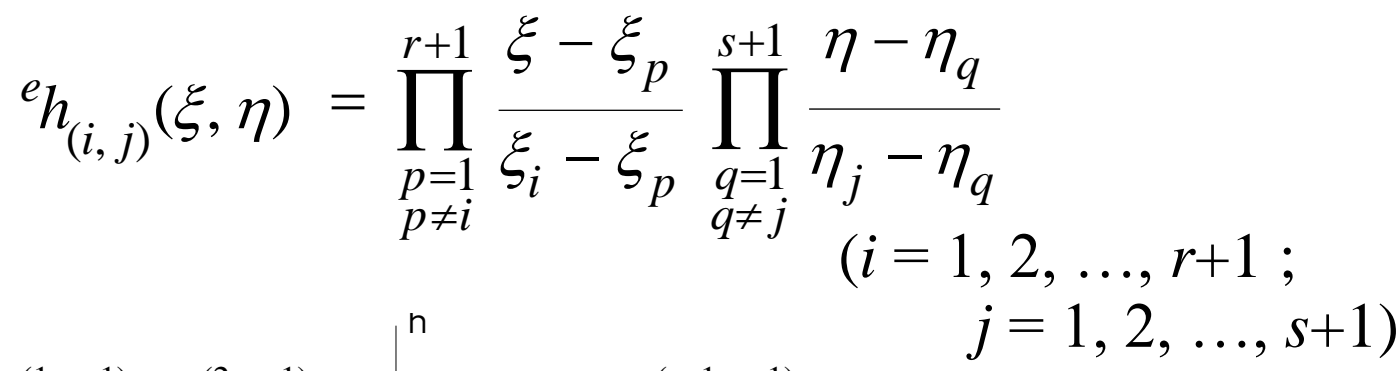
22/11/2018 -49-

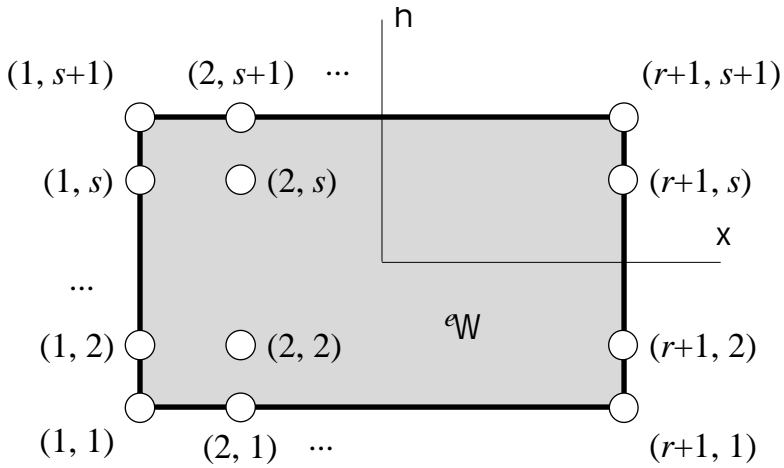
• Famille généralisée d'éléments finis rectangulaires lagrangiens



-50-

Fonctions de base de l'élément rectangulaire généralisé







Ordres différents selon  $\xi$  et  $\eta$ : précision privilégiée dans une direction

-51-

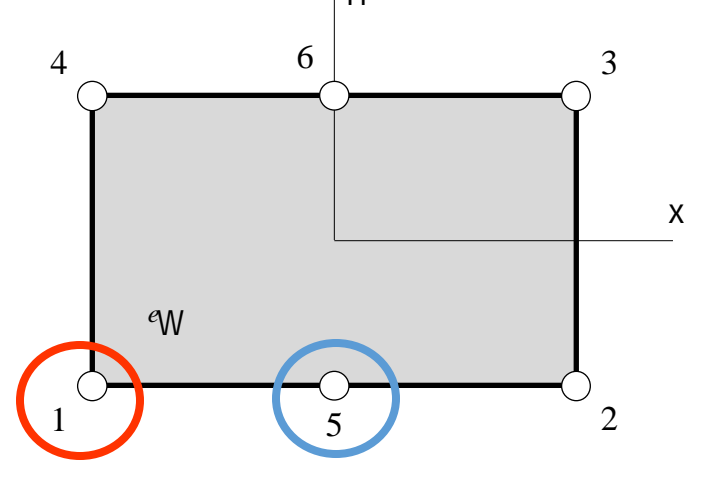
Exemple d'un élément fini rectangulaire lagrangien généralisé

$$\stackrel{e}{h_1} = \frac{1}{2} \xi(\xi - 1) \cdot \frac{1}{2} (1 - \eta)$$

$$= \frac{1}{4} \xi(\xi - 1) (1 - \eta)$$

$$\stackrel{e}{h_5} = (1 - \xi^2) \cdot \frac{1}{2} (1 - \eta)$$

$$= \frac{1}{2} (1 - \xi^2) (1 - \eta)$$





Produit de fonctions quadratique en  $\xi$  et linéaire en  $\eta$ 

⇒ Élément fini quadratique-linéaire

Critères de convergence et élément rectangulaire généralisé



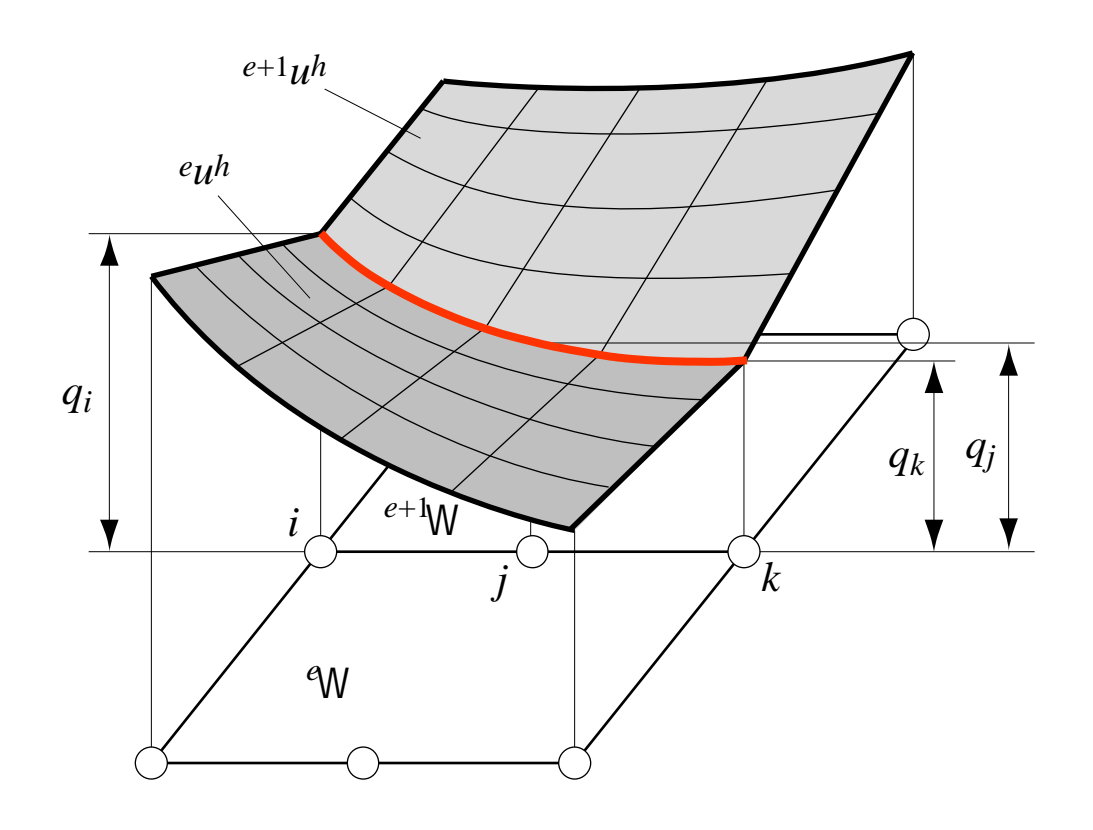
Complétude satisfaite



Différentiabilité satisfaite



Continuité satisfaite aux nœuds et aux interfaces



-53-